

# 粒子物理基础作业

Clark

6.3 (a) 假设你一开始有 100 万缪子 (静止); 到  $2.2 \times 10^{-5}$ s 后还剩多少?

(b) 一个  $\pi^-$  持续 1s 的概率有多大 (用 10 的幂次表达你的结果)?

解:

(a) 缪子 ( $\mu$  子) 的衰变遵循指数衰变规律。设初始缪子数为  $N_0 = 10^6$ , 缪子的平均寿命为  $\tau = 2.2 \times 10^{-6}$ s。在时间  $t = 2.2 \times 10^{-5}$ s 后, 剩余缪子数由公式给出:

$$N = N_0 e^{-\frac{t}{\tau}}. \quad (1)$$

代入数值, 注意  $\frac{t}{\tau} = \frac{2.2 \times 10^{-5}}{2.2 \times 10^{-6}} = 10$ , 因此:

$$N = 10^6 \times e^{-10}. \quad (2)$$

计算  $e^{-10}$  的近似值:  $e^{-10} \approx 4.53999 \times 10^{-5}$ 。于是:

$$N \approx 10^6 \times 4.53999 \times 10^{-5} = 45.3999. \quad (3)$$

取整后, 剩余缪子数约为 46 个。

(b)  $\pi^-$  介子的平均寿命为  $\tau = 2.6 \times 10^{-8}$ s。一个  $\pi^-$  介子持续时间  $t = 1$ s 的概率由指数衰变公式给出:

$$P = e^{-\frac{t}{\tau}}. \quad (4)$$

代入数值,  $\frac{t}{\tau} = \frac{1}{2.6 \times 10^{-8}} \approx 3.84615 \times 10^7$ , 因此:

$$P = e^{-3.84615 \times 10^7}. \quad (5)$$

为用 10 的幂次表达, 利用对数换底公式:  $e^x = 10^{x \log_{10} e}$ , 其中  $\log_{10} e \approx 0.434294$ 。所以:

$$P = 10^{(-3.84615 \times 10^7) \times 0.434294} \approx 10^{-1.67000 \times 10^7}. \quad (6)$$

近似计算指数:  $-1.67000 \times 10^7 = -16700000$ 。因此, 概率可写为:

$$P \approx 10^{-16700000}. \quad (7)$$

注意, 通常在科学记数法中写作  $10^{-1.67 \times 10^7}$ 。

6.8 考虑在实验室系 ( $b$  初始静止) 的弹性散射,  $a + b \rightarrow a + b$ , 假设靶如此之重 ( $m_b c^2 \gg E_a$ ) 以致其反冲可以忽略。定出微分截面。(提示: 在这个极限下实验室系和质心系是一样的。)

(答案:  $\left(\frac{d\sigma}{d\Omega}\right) = \left(\frac{\hbar}{8\pi m_b c}\right)^2 |\mathcal{M}|^2$ )

解:

结合正文, 我们有 (6.47)

$$\frac{d\sigma}{d\Omega} = \left(\frac{\hbar c}{8\pi}\right)^2 \frac{S|\mathcal{M}|^2}{(E_1 + E_2)^2} \frac{|\mathbf{p}_f|}{|\mathbf{p}_i|}, \quad (8)$$

其中  $|\mathbf{p}_f|$  是出射动量的大小,  $|\mathbf{p}_i|$  是入射动量的大小。由于靶粒子  $b$  非常重 ( $m_b c^2 \gg E_a$ ), 其反冲可以忽略, 因此实验室系和质心系实际上是相同的。在这种极限情况下, 我们可以做出以下简化:

- 粒子 1 (入射粒子  $a$ ) 从粒子 2 (靶粒子  $b$ ) 上弹回, 其能量保持不变, 因此动量的绝对值也不变:

$$|\mathbf{p}_f| = |\mathbf{p}_i|. \quad (9)$$

- 总能量 ( $E_1 + E_2$ ) 中,  $E_1$  是入射粒子的能量,  $E_2$  是靶粒子的能量。由于靶粒子非常重且初始静止,  $E_2 \approx m_b c^2$ , 并且由于  $m_b c^2 \gg E_a$ , 我们有:

$$E_1 + E_2 = E_1 + m_b c^2 \approx m_b c^2. \quad (10)$$

- 对称因子  $S = 1$ , 因为粒子 1 和粒子 2 是不同的粒子。将上述简化代入 (6.47), 我们得到:

$$\frac{d\sigma}{d\Omega} = \left(\frac{\hbar c}{8\pi}\right)^2 \frac{|\mathcal{M}|^2}{(m_b c^2)^2}. \quad (11)$$

注意到  $\hbar c$  具有作用量  $x$  速度的量纲, 而  $m_b c^2$  具有能量的量纲, 我们可以将上述表达式重新整理为:

$$\frac{d\sigma}{d\Omega} = \left(\frac{\hbar}{8\pi m_b c}\right)^2 |\mathcal{M}|^2. \quad (12)$$

因此, 在靶粒子非常重的极限下, 弹性散射的微分截面为:

$$\left(\frac{d\sigma}{d\Omega}\right) = \left(\frac{\hbar}{8\pi m_b c}\right)^2 |\mathcal{M}|^2. \quad (13)$$

6.9 考虑在实验室系 (2 静止) 的碰撞  $1 + 2 \rightarrow 3 + 4$ , 3 和 4 是无质量的。计算微分截面公式。

答案:  $\left[\frac{d\sigma}{d\Omega} = \left(\frac{\hbar}{8\pi}\right)^2 \frac{S|\mathcal{M}|^2 |\mathbf{p}_3|}{m_2 |\mathbf{p}_1| (E_1 + m_2 c^2 - |\mathbf{p}_1| c \cos \theta)}\right]. \quad (14)$

解:

结合正文, 我们有 (6.38)

$$\sigma = \frac{S\hbar^2}{4\sqrt{(p_1 \cdot p_2)^2 - (m_1 m_2 c^2)^2}} \int |\mathcal{M}|^2 (2\pi)^4 \delta^4(p_1 + p_2 - p_3 - p_4) \times \prod_{j=2}^n \frac{1}{2\sqrt{p_j^2 + m_j^2 c^2}} \frac{d^3 \mathbf{p}_j}{(2\pi)^3}, \quad (15)$$

其中  $p_j^0 = \sqrt{\mathbf{p}_j^2 + m_j^2 c^2}$ , 以及在实验室系下, 当  $p_1 = \left(\frac{E_1}{c}, \mathbf{p}_1\right)$  和  $p_2 = (m_2 c, \mathbf{0})$ , 于是有  $p_1 \cdot p_2 = E_1 m_2$ , 即  $\sqrt{(p_1 \cdot p_2)^2 - (m_1 m_2 c^2)^2} = |\mathbf{p}_1| m_2 c$ , 因为  $E_1^2 = m_1^2 c^4 + |\mathbf{p}_1|^2 c^2$ 。由于粒子 3 和 4 是无质量的, 我们有  $m_3 = m_4 = 0$ , 所以  $p_j^0 = |\mathbf{p}_j|$  (对于  $j = 3, 4$ )。截面公式变为:

$$\sigma = \frac{S\hbar^2}{4|\mathbf{p}_1|m_2 c} \int |\mathcal{M}|^2 (2\pi)^4 \delta^4(p_1 + p_2 - p_3 - p_4) \times \prod_{j=3}^4 \frac{1}{2|\mathbf{p}_j|} \frac{d^3 \mathbf{p}_j}{(2\pi)^3}. \quad (16)$$

我们考虑微分截面  $\frac{d\sigma}{d\Omega}$ , 即对粒子 3 的立体角积分。我们首先对粒子 4 的动量积分, 利用动量守恒  $\delta$  函数。然后, 对粒子 3 的动量大小积分, 但保留方向固定 (即立体角元  $d\Omega$ )。具体步骤如下:

- 利用  $\delta$  函数对  $\mathbf{p}_4$  积分，得到  $\mathbf{p}_4 = \mathbf{p}_1 + \mathbf{p}_2 - \mathbf{p}_3 = \mathbf{p}_1 - \mathbf{p}_3$  (因为  $\mathbf{p}_2 = 0$ )。
- 能量守恒  $\delta$  函数变为  $\delta(E_1 + m_2 c^2 - |\mathbf{p}_3|c - |\mathbf{p}_4|c)$ ，因为无质量粒子的能量  $E_j = |\mathbf{p}_j|c$ 。
- 截面公式现在为：

$$\sigma = \frac{S\hbar^2}{4|\mathbf{p}_1|m_2c} \int \frac{|\mathcal{M}|^2}{4|\mathbf{p}_3||\mathbf{p}_4|} (2\pi)\delta(E_1 + m_2 c^2 - |\mathbf{p}_3|c - |\mathbf{p}_4|c) \frac{d^3\mathbf{p}_3}{(2\pi)^3}, \quad (17)$$

其中  $|\mathbf{p}_4| = |\mathbf{p}_1 - \mathbf{p}_3|$ 。

- 将  $d^3\mathbf{p}_3$  写成  $|\mathbf{p}_3|^2 d|\mathbf{p}_3| d\Omega$ ，并注意到  $|\mathbf{p}_4|$  是  $|\mathbf{p}_3|$  和角度的函数。
- 对  $|\mathbf{p}_3|$  积分，利用  $\delta$  函数。 $\delta$  函数的自变量为  $f(|\mathbf{p}_3|) = E_1 + m_2 c^2 - |\mathbf{p}_3|c - |\mathbf{p}_1 - \mathbf{p}_3|c$ 。我们需要找到  $f(|\mathbf{p}_3|) = 0$  的根，并计算导数。
- 设  $z = |\mathbf{p}_3| + |\mathbf{p}_1 - \mathbf{p}_3|$ ，则  $\delta$  函数变为  $\delta\left(\frac{E_1}{c} + m_2 c - z\right)$ 。然后，我们需要计算  $\frac{dz}{d|\mathbf{p}_3|}$ 。
- 计算  $z$  对  $|\mathbf{p}_3|$  的导数，得到：

$$\begin{aligned} \frac{dz}{d|\mathbf{p}_3|} &= 1 + \frac{1}{2} \frac{2|\mathbf{p}_3| - 2|\mathbf{p}_1| \cos \theta}{\sqrt{|\mathbf{p}_1|^2 + |\mathbf{p}_3|^2 - 2|\mathbf{p}_1||\mathbf{p}_3| \cos \theta}} \\ &= \frac{\sqrt{|\mathbf{p}_1|^2 + |\mathbf{p}_3|^2 - 2|\mathbf{p}_1||\mathbf{p}_3| \cos \theta} + |\mathbf{p}_3| - |\mathbf{p}_1| \cos \theta}{\sqrt{|\mathbf{p}_1|^2 + |\mathbf{p}_3|^2 - 2|\mathbf{p}_1||\mathbf{p}_3| \cos \theta}} \\ &= \frac{z - |\mathbf{p}_1| \cos \theta}{\sqrt{|\mathbf{p}_1|^2 + |\mathbf{p}_3|^2 - 2|\mathbf{p}_1||\mathbf{p}_3| \cos \theta}} \\ &= \frac{z - |\mathbf{p}_1| \cos \theta}{|\mathbf{p}_1 - \mathbf{p}_3|}, \end{aligned} \quad (18)$$

其中  $\theta$  是  $\mathbf{p}_3$  与  $\mathbf{p}_1$  的夹角。

- 因此，对  $|\mathbf{p}_3|$  的积分变为：

$$I = \int \frac{|\mathbf{p}_3|^2 d|\mathbf{p}_3|}{|\mathbf{p}_3||\mathbf{p}_1 - \mathbf{p}_3|} \delta\left(\frac{E_1}{c} + m_2 c - z\right) = \int \frac{|\mathbf{p}_3| dz}{z - |\mathbf{p}_1| \cos \theta} \delta\left(\frac{E_1}{c} + m_2 c - z\right), \quad (19)$$

这里  $|\mathbf{p}_3|$  是  $z$  的一个函数。

- 积分后，得到  $z = \frac{E_1}{c} + m_2 c$ ，且  $|\mathbf{p}_3|$  由该方程确定。同时，分母中的  $z - |\mathbf{p}_1| \cos \theta = \frac{E_1}{c} + m_2 c - |\mathbf{p}_1| \cos \theta$ ，即

$$I = \frac{|\mathbf{p}_3|}{\frac{E_1}{c} + m_2 c - |\mathbf{p}_1| \cos \theta}. \quad (20)$$

- 最终，微分截面为：

$$\frac{d\sigma}{d\Omega} = \frac{S\hbar^2}{64\pi^2|\mathbf{p}_1|m_2c} |\mathcal{M}|^2 \cdot I = \frac{S\hbar^2}{64\pi^2|\mathbf{p}_1|m_2c} \frac{|\mathcal{M}|^2 |\mathbf{p}_3|}{\frac{E_1}{c} + m_2 c - |\mathbf{p}_1| \cos \theta}. \quad (21)$$

- 整理常数因子： $\frac{\hbar^2}{64\pi^2} = \left(\frac{\hbar}{8\pi}\right)^2$ ，所以我们得到：

$$\frac{d\sigma}{d\Omega} = \left(\frac{\hbar}{8\pi}\right)^2 \frac{S|\mathcal{M}|^2 |\mathbf{p}_3|}{m_2 |\mathbf{p}_1| (E_1 + m_2 c^2 - |\mathbf{p}_1| c \cos \theta)}. \quad (22)$$

这就是最终的微分截面公式。

6.11 (a)  $A \rightarrow B + B$  在 ABC 理论中是否是一个可能的过程？

- (b) 考虑一个图有  $n_A$  个  $A$  外线,  $n_B$  个  $B$  外线,  $n_C$  个  $C$  外线。找出一个简单的判据来决定它是否是一个允许的反应。
- (c) 假设  $A$  足够重, 在  $A \rightarrow B + C$  之后, 下一个最可能的衰变模式是什么? 对每个衰变画出 Feynman 图。

解:

- (a) 不能。原因如下: 在  $ABC$  理论中, 反应必须满足一定的守恒律或对称性。根据部分 (b) 的判据, 一个反应允许的充要条件是外线数目  $n_A, n_B, n_C$  要么全为偶数, 要么全为奇数。对于过程  $A \rightarrow B + C$ , 外线数目为  $n_A = 1$  (一个  $A$  外线),  $n_B = 2$  (两个  $B$  外线),  $n_C = 0$  (零个  $C$  外线)。这些数中,  $n_A = 1$  为奇数,  $n_B = 2$  为偶数,  $n_C = 0$  为偶数, 并非全奇或全偶, 因此该过程不允许。
- (b) 判据: 一个反应是允许的, 当且仅当外线数目  $n_A, n_B, n_C$  要么全为偶数, 要么全为奇数。

证明.

(必要性) 假设存在一个允许的 Feynman 图。我们考虑将该图中的所有内线“剪断”(snip every internal line)。剪断后, 每个顶点将产生三个“外线”(称为“外部”线), 分别对应  $A, B, C$ 。设顶点数为  $N$ , 则剪断后我们有  $n'_A = n'_B = n'_C = N$  条“外部”线(即每个顶点贡献一条  $A$ 、一条  $B$  和一条  $C$  线)。现在, 我们重新连接内线: 每次连接两条同种粒子的“外部”线, 将它们变为一条内线。连接过程会减少该种粒子的“外部”线数目。设  $I_A, I_B, I_C$  分别表示  $A, B, C$  的内线数目。则最终的外线数目为:

$$n_A = N - 2I_A, \quad n_B = N - 2I_B, \quad n_C = N - 2I_C. \quad (23)$$

由于  $N, I_A, I_B, I_C$  均为整数,  $n_A, n_B, n_C$  的奇偶性相同(它们都等于  $N$  减去一个偶数, 因此奇偶性由  $N$  决定)。具体地, 如果  $N$  为偶数, 则  $n_A, n_B, n_C$  全为偶数; 如果  $N$  为奇数, 则全为奇数。故必要性得证。

(充分性) 给定  $n_A, n_B, n_C$  全为偶数或全为奇数, 我们构造一个允许的 Feynman 图。不失一般性, 假设  $n_A$  是最大的(即  $n_A \geq n_B$  且  $n_A \geq n_C$ )。我们首先绘制  $n_A$  个顶点, 每个顶点有三条“外部”线, 分别标记为  $A, B, C$ 。此时, 我们有  $n'_A = n_A$  条  $A$  外线,  $n'_B = n_A$  条  $B$  外线,  $n'_C = n_A$  条  $C$  外线。由于  $n_A$  和  $n_B$  同奇偶, 我们可以将  $B$  线成对连接: 每次连接两条  $B$  的“外部”线, 将它们变为一条  $B$  内线, 这样  $B$  外线数目减少 2。重复此过程, 直到  $B$  外线数目从  $n_A$  减少到  $n_B$ 。类似地, 对  $C$  线进行相同操作, 将  $C$  外线数目从  $n_A$  减少到  $n_C$ 。最终, 我们得到一个具有  $n_A$  条  $A$  外线、 $n_B$  条  $B$  外线和  $n_C$  条  $C$  外线的图。因此, 充分性得证。□

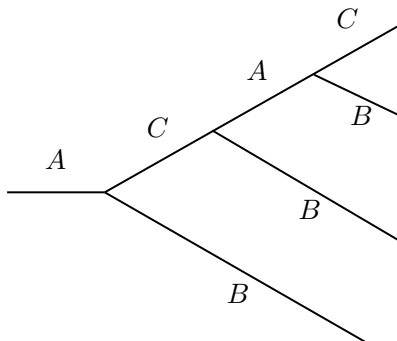
- (c) 在  $A \rightarrow B + C$  之后, 下一个最可能的衰变模式应满足能量守恒且反应允许。根据部分 (b) 的判据, 外线数目必须全为偶数或全为奇数。对于衰变过程, 初始粒子为  $A$ , 故  $n_A = 1$  (奇数)。因此, 最终态粒子的外线数目  $n_B$  和  $n_C$  必须与  $n_A$  同奇偶, 即全为奇数。 $A \rightarrow B + C$  对应  $n_B = 1, n_C = 1$ , 全为奇数, 允许。下一个衰变模式应涉及更多粒子, 且满足全奇条件。最简单的可能是:

- 模式一:  $A \rightarrow 3B + C$ , 此时  $n_A = 1$  (奇数),  $n_B = 3$  (奇数),  $n_C = 1$  (奇数), 全为奇数, 允许。

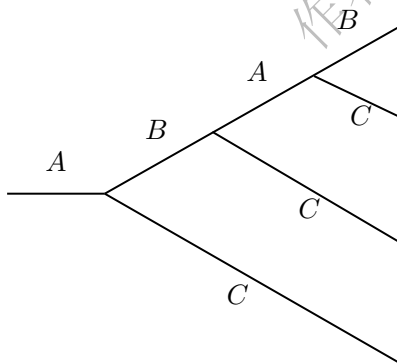
- 模式二:  $A \rightarrow B + 3C$ , 此时  $n_A = 1$  (奇数),  $n_B = 1$  (奇数),  $n_C = 3$  (奇数), 全为奇数, 允许。

这两个模式是下一个最可能的, 因为它们涉及最少的额外粒子(仅增加两个粒子), 且满足判据。下面分别画出它们的 Feynman 图。

模式一:  $A \rightarrow 3B + C$  的 Feynman 图



模式二:  $A \rightarrow B + 3C$  的 Feynman 图

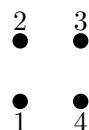


6.12 (a) 对  $A + A \rightarrow A + A$ , 画出所有最低阶的图。(共有六个。)

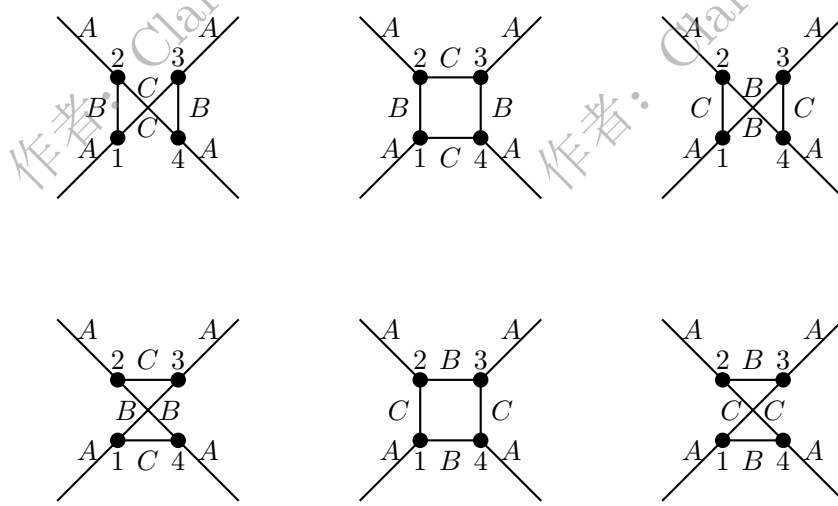
(b) 假设  $m_B = m_C = 0$ , 计算这个过程的最低阶振幅。以对一个剩余动量  $q$  的积分的形式给出你的答案。

解:

(a) 在  $ABC$  理论中,  $A + A \rightarrow A + A$  过程的最低阶费曼图涉及四个顶点, 每个顶点连接一个外部的  $A$  粒子。内部传播子为  $B$  和  $C$  粒子。从顶点 1 出发的  $B$  粒子可以连接到顶点 2、3 或 4, 而  $C$  粒子则连接到剩余的两个顶点之一, 因此共有六种不同的连接方式, 对应六个最低阶费曼图。现在, 我们从

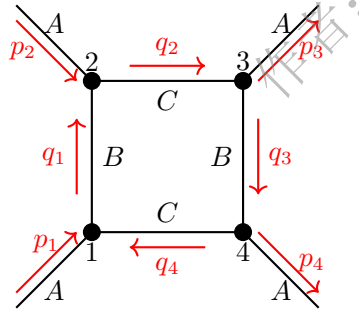


开始, 逐个画出 6 种 Feynman 图。



至此我们画出了 6 种 Feynman 图。

- (b) 假设  $m_B = m_C = 0$ , 我们计算  $A + A \rightarrow A + A$  过程的最低阶振幅。以第一行中间的 Feynman 图为例进行详细计算。



该 Feynman 图由下面公式表述

$$\begin{aligned}
 & \int \int \int \int (-ig)^4 \frac{i}{q_1^2 - m_B^2 c^2} \frac{i}{q_2^2 - m_C^2 c^2} \frac{i}{q_3^2 - m_B^2 c^2} \frac{i}{q_4^2 - m_C^2 c^2} (2\pi)^4 \\
 & \times \delta^4(p_1 + q_4 - q_1) (2\pi)^4 \delta^4(p_2 + q_1 - q_2) (2\pi)^4 \delta^4(q_2 - q_3 - p_3) \\
 & \times (2\pi)^4 \delta^4(q_3 - p_4 - q_4) \frac{d^4 q_1}{(2\pi)^4} \frac{d^4 q_2}{(2\pi)^4} \frac{d^4 q_3}{(2\pi)^4} \frac{d^4 q_4}{(2\pi)^4} \\
 & = g^4 \int \int \int \int \frac{\delta^4(p_1 + q_4 - q_1) \delta^4(p_2 + q_1 - q_2) \delta^4(q_2 - q_3 - p_3)}{q_1^2 q_2^2 q_3^2} \\
 & \times \frac{\delta^4(q_3 - p_4 - q_4)}{q_4^2} d^4 q_1 d^4 q_2 d^4 q_3 d^4 q_4. \tag{24}
 \end{aligned}$$

首先, 对  $q_4$  积分, 利用  $\delta^4(p_1 + q_4 - q_1)$ , 得到  $q_4 = q_1 - p_1$ :

$$\mathcal{M} = g^4 \int \int \frac{\delta^4(p_2 + q_1 - q_2) \delta^4(q_2 - q_3 - p_3) \delta^4(q_3 - p_4 - q_1 + p_1)}{q_1^2 q_2^2 q_3^2 (q_1 - p_1)^2} d^4 q_1 d^4 q_2 d^4 q_3. \tag{25}$$

接着, 对  $q_3$  积分, 利用  $\delta^4(q_2 - q_3 - p_3)$ , 得到  $q_3 = q_2 - p_3$ :

$$\mathcal{M} = g^4 \int \int \frac{\delta^4(p_2 + q_1 - q_2) \delta^4(q_2 - p_3 - p_4 - q_1 + p_1)}{q_1^2 q_2^2 (q_2 - p_3)^2 (q_1 - p_1)^2} d^4 q_1 d^4 q_2. \tag{26}$$

然后, 对  $q_2$  积分, 利用  $\delta^4(p_2 + q_1 - q_2)$ , 得到  $q_2 = p_2 + q_1$ 。去掉  $q_1$  的下标, 记为  $q$ :

$$\mathcal{M} = g^4 \int \frac{\delta^4(p_2 + q - p_3 - p_4 - q + p_1)}{q^2 (p_2 + q)^2 (p_2 + q - p_3)^2 (q - p_1)^2} d^4 q. \tag{27}$$

$\delta$  函数中的参数简化为  $\delta^4(p_1 + p_2 - p_3 - p_4)$ , 这是总动量守恒。提取这个  $\delta$  函数, 并乘以 i (来自 LSZ 约化公式):

$$\mathcal{M} = i \left(\frac{g}{2\pi}\right)^4 \int \frac{1}{q^2(q+p_2)^2(q+p_2-p_3)^2(q-p_1)^2} d^4q. \quad (28)$$

这是该图的振幅。类似地, 可以计算其他图的振幅。该列第二行的图与该图相同 (因为  $m_B = m_C = 0$ )。第一行的左、右两个 Feynman 图可以通过两个交换  $p_3 \leftrightarrow p_4$  得到:

$$\mathcal{M} = i \left(\frac{g}{2\pi}\right)^4 \int \frac{1}{q^2(q+p_2)^2(q+p_2-p_4)^2(q-p_1)^2} d^4q. \quad (29)$$

第二行的左、右两个 Feynman 图可以通过两个交换  $p_2 \leftrightarrow p_3$  得到:

$$\mathcal{M} = i \left(\frac{g}{2\pi}\right)^4 \int \frac{1}{q^2(q+p_3)^2(q+p_3-p_2)^2(q-p_1)^2} d^4q. \quad (30)$$

总振幅是六个图的和。由于对称性, 可以写成:

$$\boxed{\mathcal{M} = 2i \left(\frac{g}{2\pi}\right)^4 \int \frac{1}{q^2(q-p_1)^2} \left\{ \frac{1}{(q+p_2)^2(q+p_2-p_3)^2} + \frac{1}{(q+p_2)^2(q+p_2-p_4)^2} + \frac{1}{(q+p_3)^2(q+p_3-p_2)^2} \right\} d^4q.} \quad (31)$$

这就是  $A + A \rightarrow A + A$  过程的最低阶振幅, 以对剩余动量  $q$  的积分形式表示。